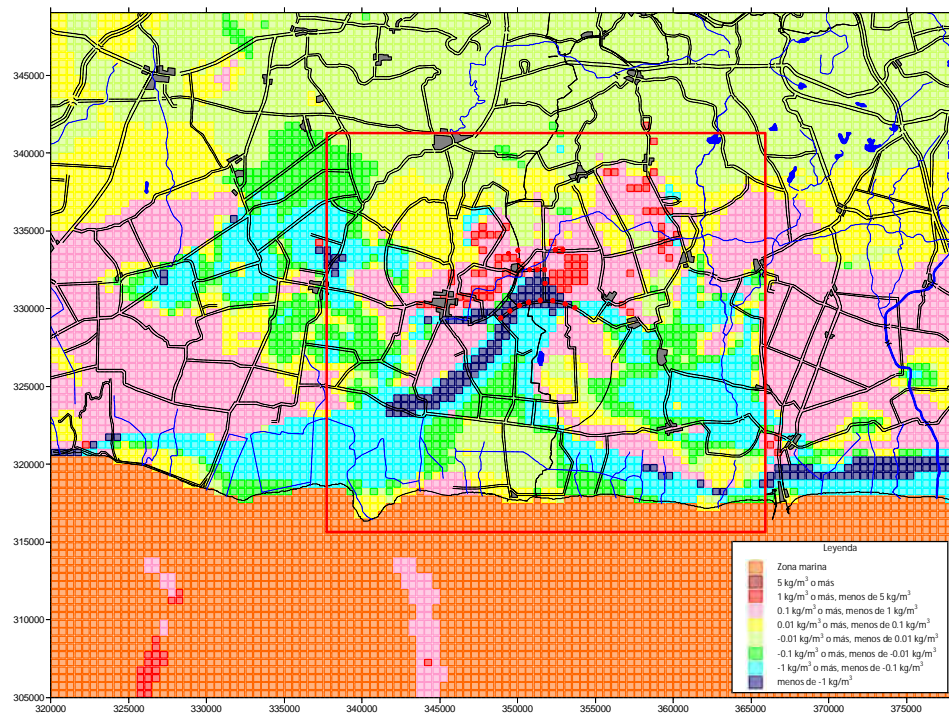


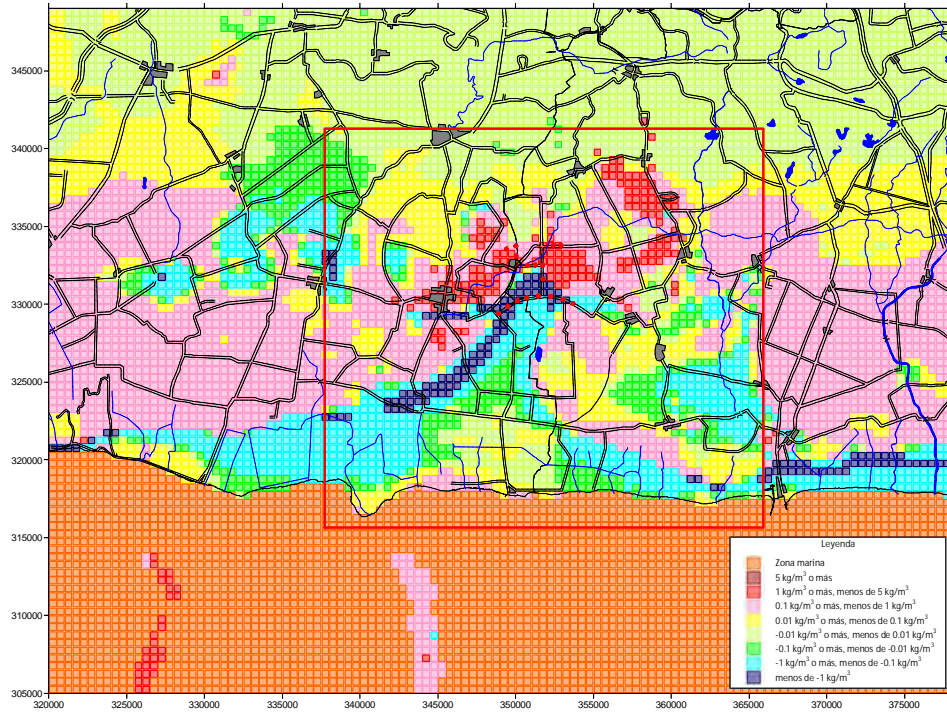
(Último mes (diciembre) de 2035)

Figura 5-18: Comparación de la distribución de los niveles calculados de agua subterránea (capa 17) del [Modelo Q0-RP0] y el [Modelo Q0-RP3]

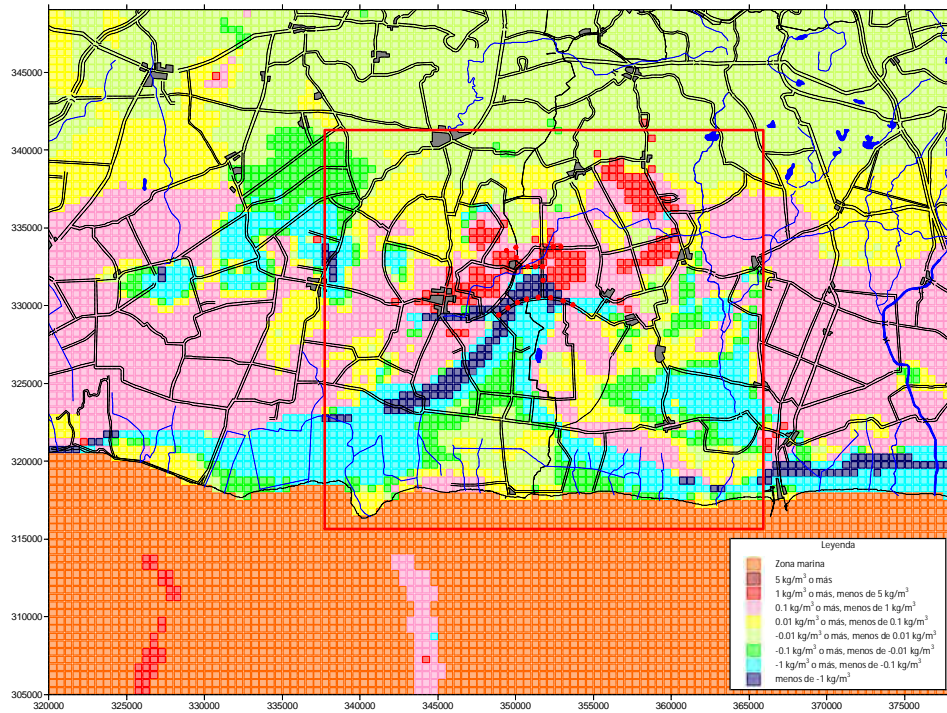
También se muestran a continuación las figuras de comparación de las concentraciones de sal calculadas (capa 17) entre el Modelo básico 2 y los tres casos descritos. El periodo de comparación es el mismo que el del Modelo básico 1.



(Finales del periodo seco (abril de 2035))

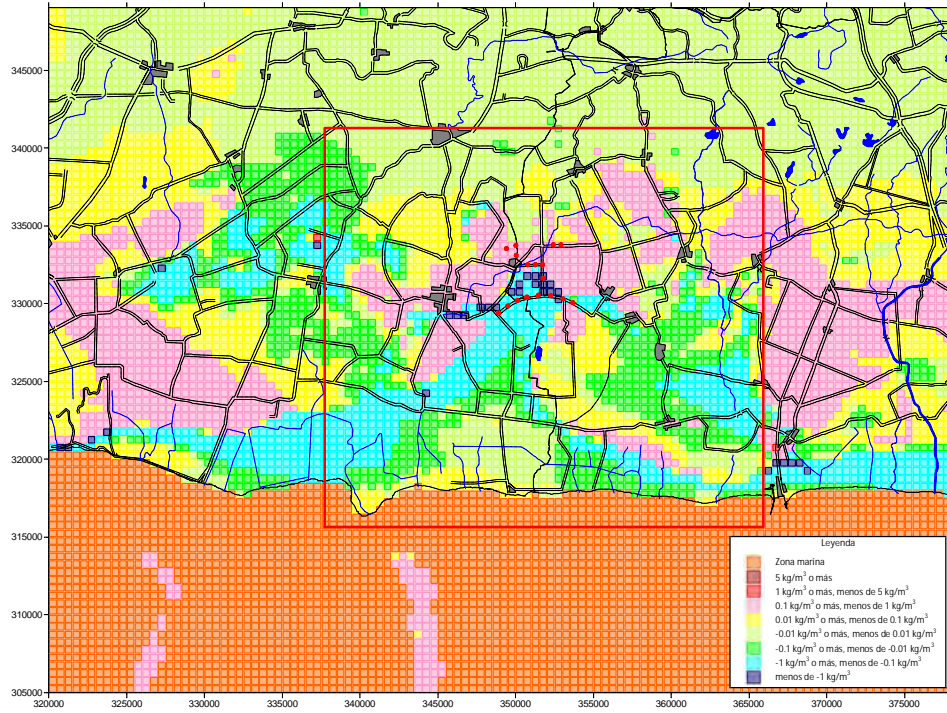


(Finales del periodo de lluvias (octubre de 2035))

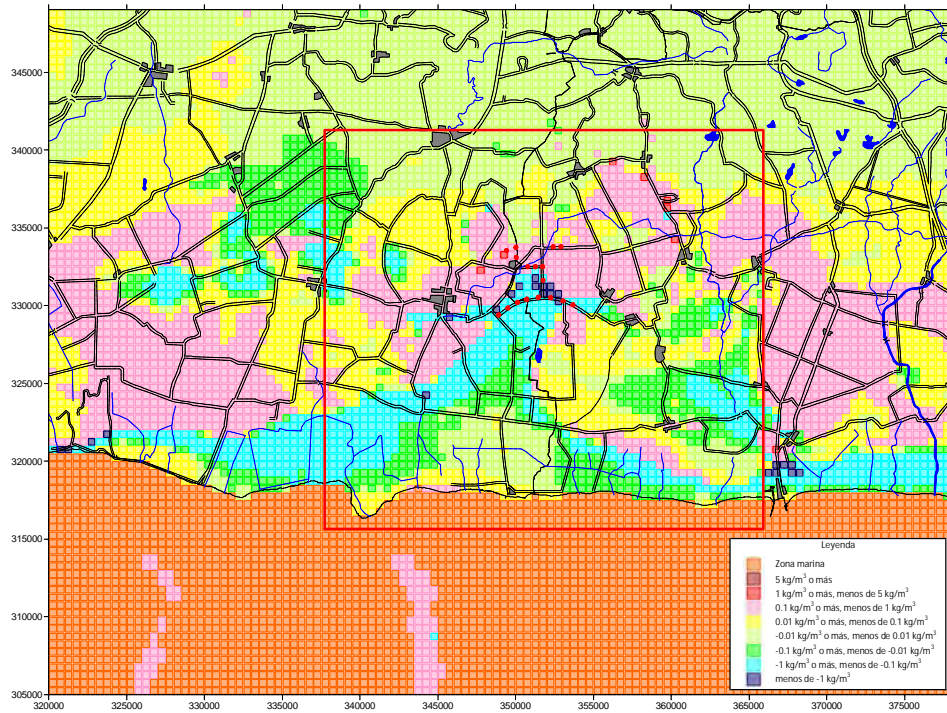


(Último mes (diciembre) de 2035)

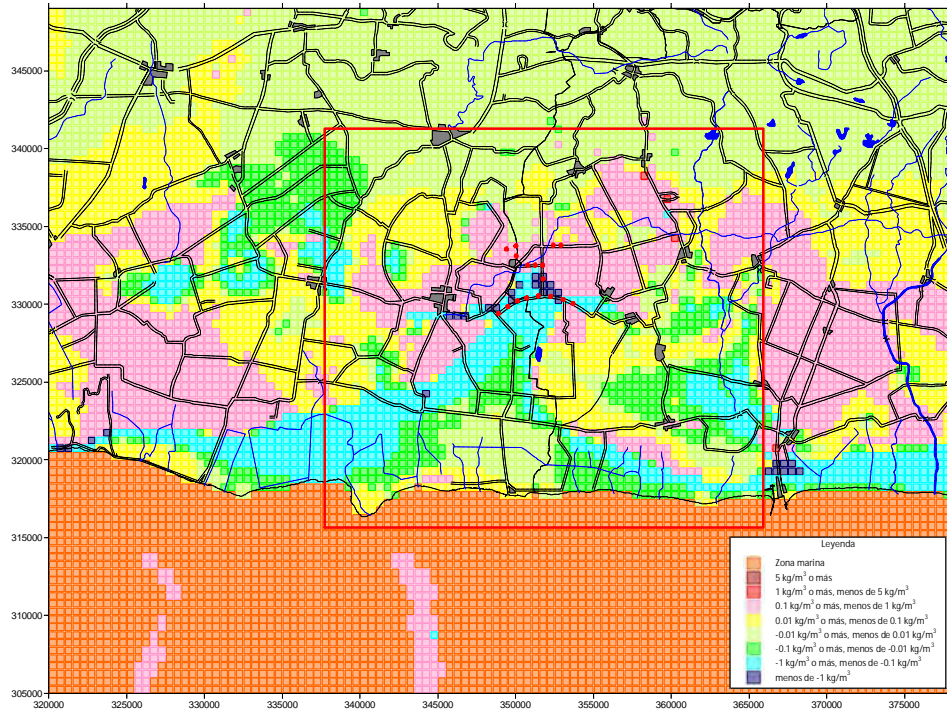
Figura 5-19: Comparación de la distribución de las concentraciones de sal calculadas (capa 17) del [Modelo Q0-RP0] y el [Modelo Q0-RP1]



(Finales del periodo seco (abril de 2035))

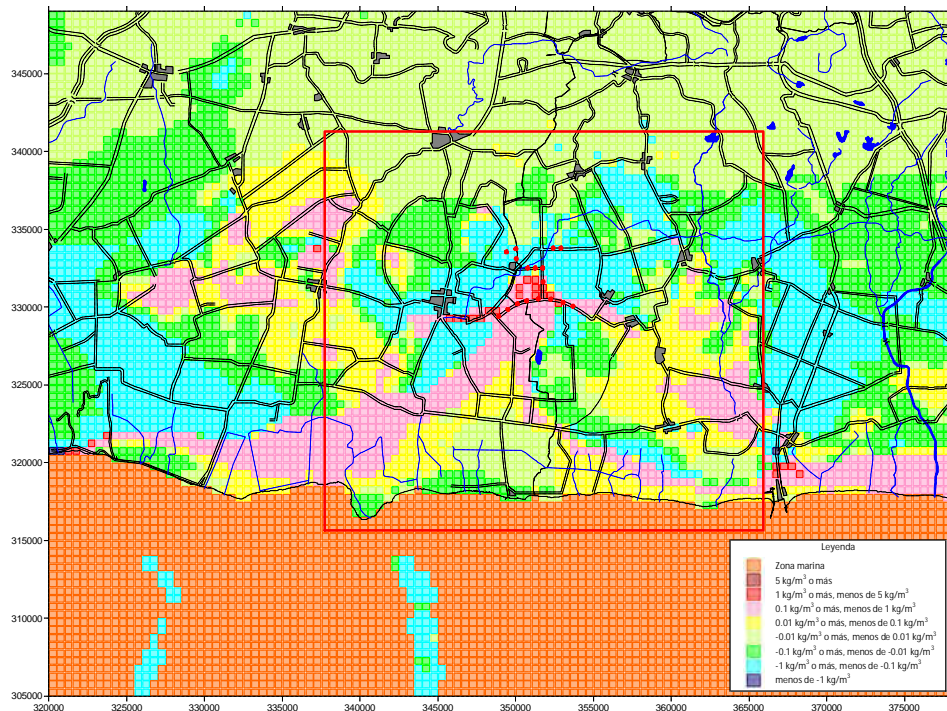


(Finales del periodo de lluvias (octubre de 2035))

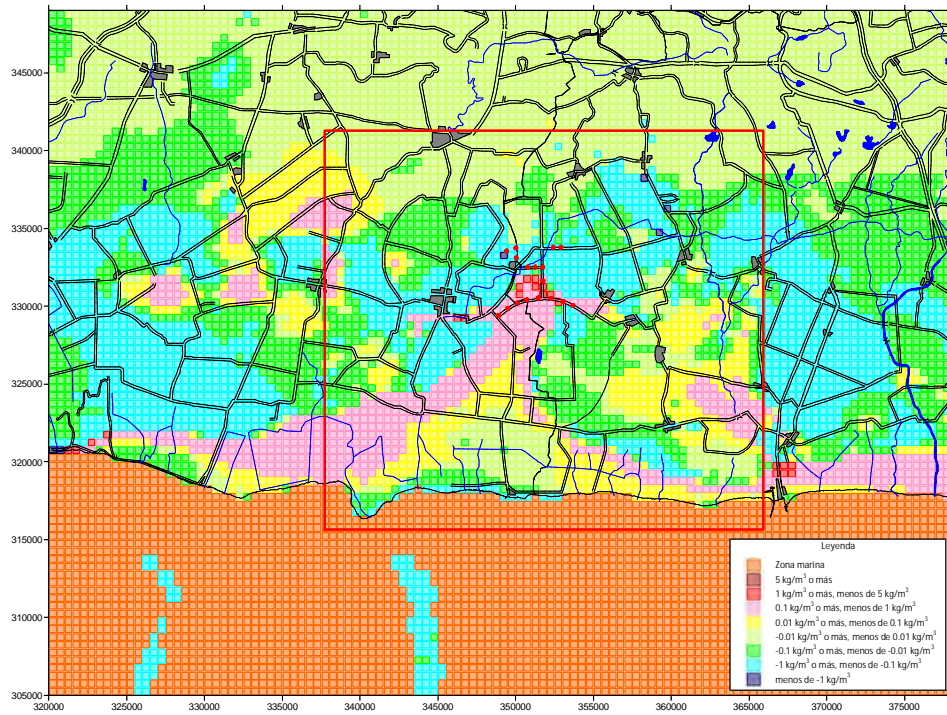


(Último mes (diciembre) de 2035)

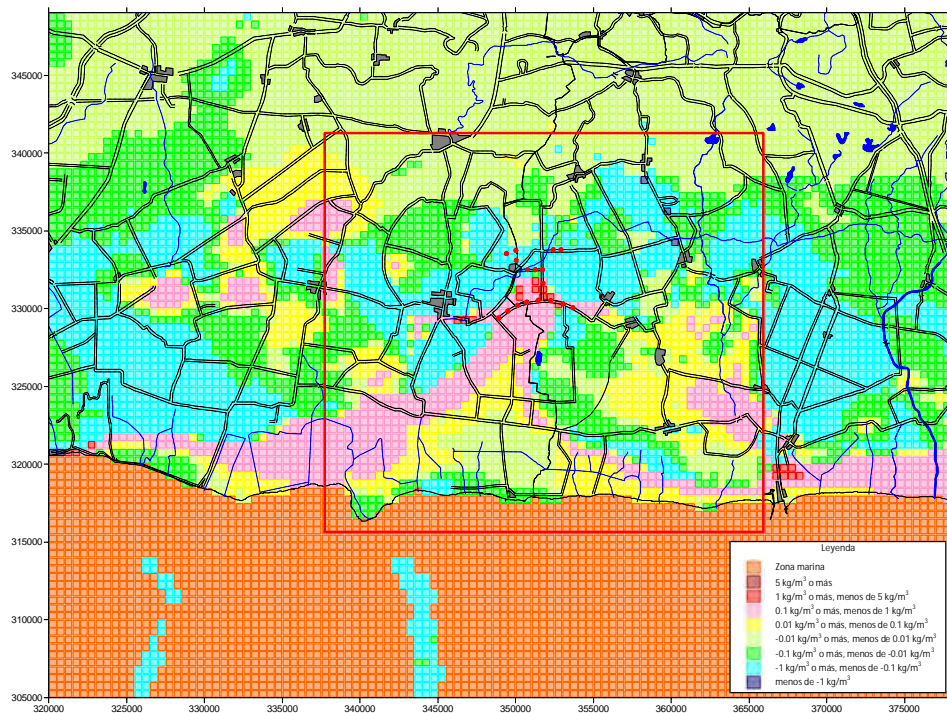
Figura 5-20: Comparación de la distribución de las concentraciones de sal calculadas (capa 17) del [Modelo Q0-RP0] y el [Modelo Q0-RP2]



(Finales del periodo seco (abril de 2035))



(Finales del periodo de lluvias (octubre de 2035))



(Último mes (diciembre) de 2035)

Figura 5-21: Comparación de la distribución de las concentraciones de sal calculadas (capa 17) del [Modelo Q0-RP0] y el [Modelo Q0-RP3]

### c. Escenario de fluctuación del uso del agua subterránea

Se implementaron tres casos de predicción del volumen de bombeo en los que el volumen de recarga de agua subterránea se mantiene igual al del Modelo Básico 1 (Modelo Q0-RA0).

- ① Modelo Q1-RA0
  - Volumen de agua subterránea bombeado: El volumen se fue reduciendo anualmente en la misma proporción de forma tal que el volumen de bombeo en 2035 constituya un 90% del volumen del modelo Q0-RA0.
- ② Modelo Q2-RA0
  - Volumen de agua subterránea bombeado: El volumen se fue aumentando anualmente en la misma proporción de forma tal que el volumen de bombeo en 2035 constituya un 110% del volumen del modelo Q0-RA0.
- ③ Modelo Q3-RA0
  - Volumen de agua subterránea bombeado: El volumen se fue aumentando anualmente en la misma proporción de forma tal que el volumen de bombeo en 2035 constituya un 120% del volumen del modelo Q0-RA0.

Los resultados de los cambios en los niveles calculados de agua subterránea del Modelo Básico 1 y los tres casos descritos aparecen en la siguiente figura.

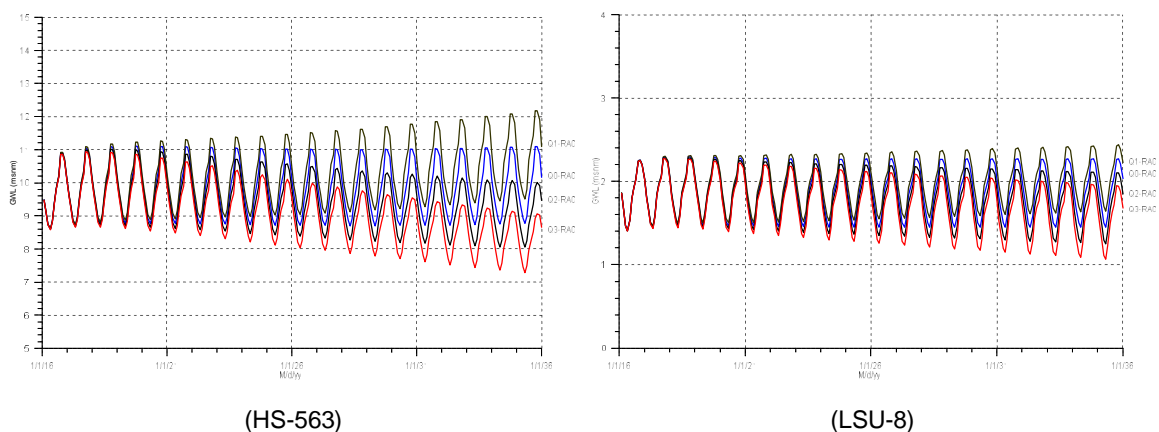
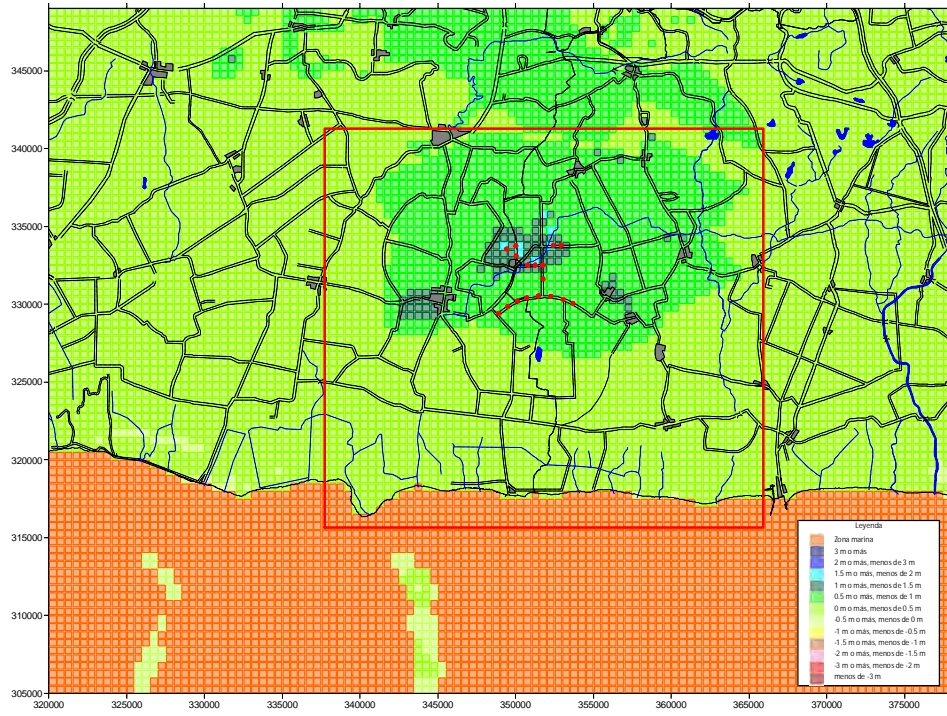
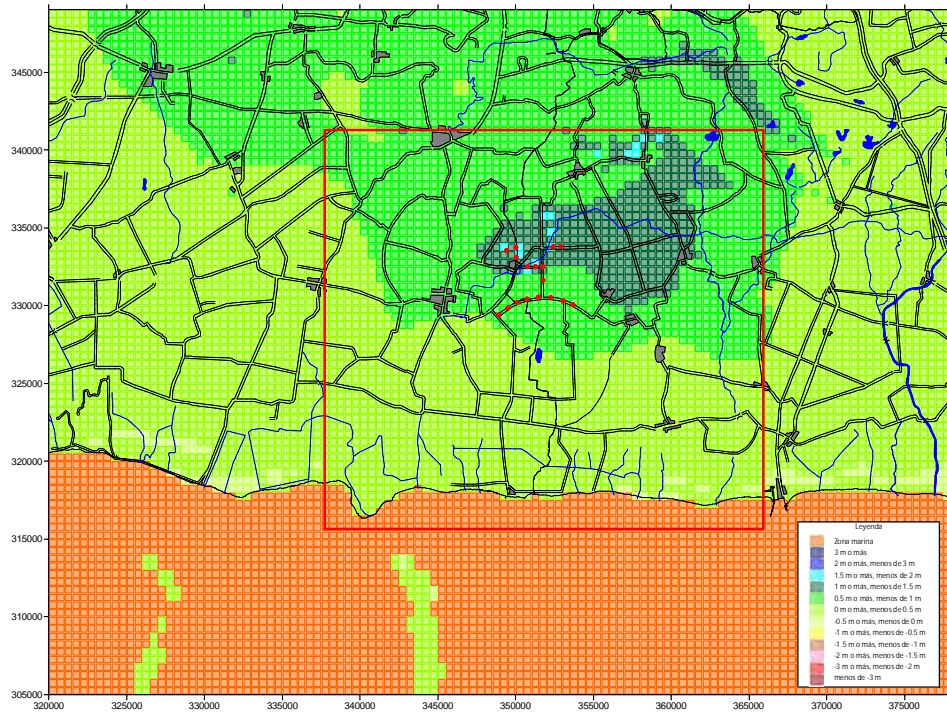


Figura 5-22: Fluctuación en los niveles calculados de agua subterránea ([Modelo Q0-RA0], [Modelo Q1-RA0], [Modelo Q2-RA0] y [Modelo Q3-RA0])

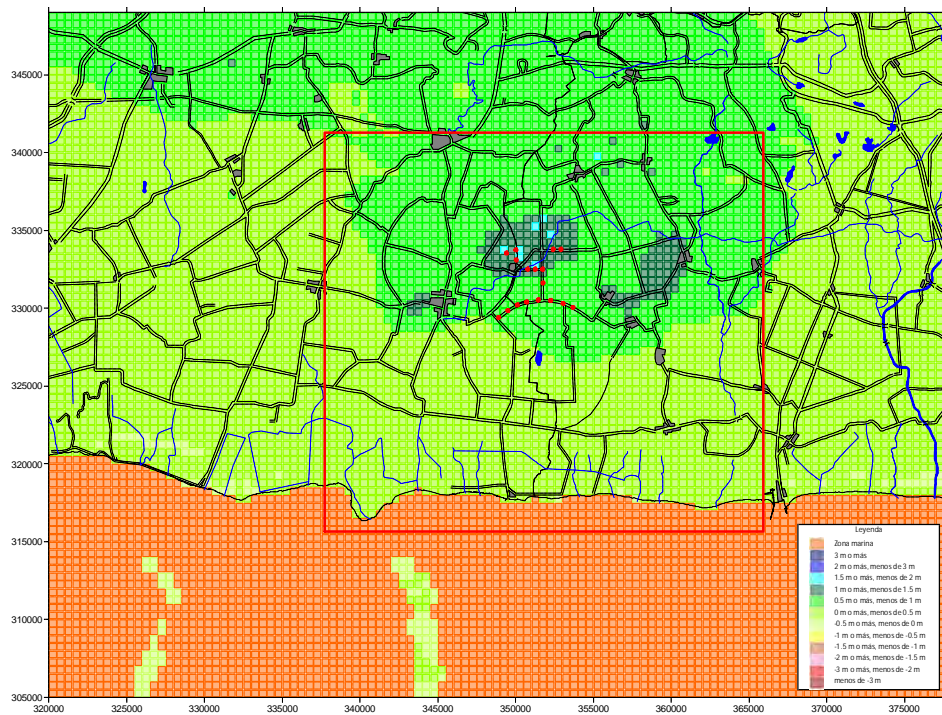
Debajo aparecen las figuras de comparación de la distribución de los niveles calculados de agua subterránea entre el Modelo básico 1 y los tres casos descritos (capa 17). El periodo de comparación es igual al de la sección anterior.



(Finales del periodo seco (abril de 2035))

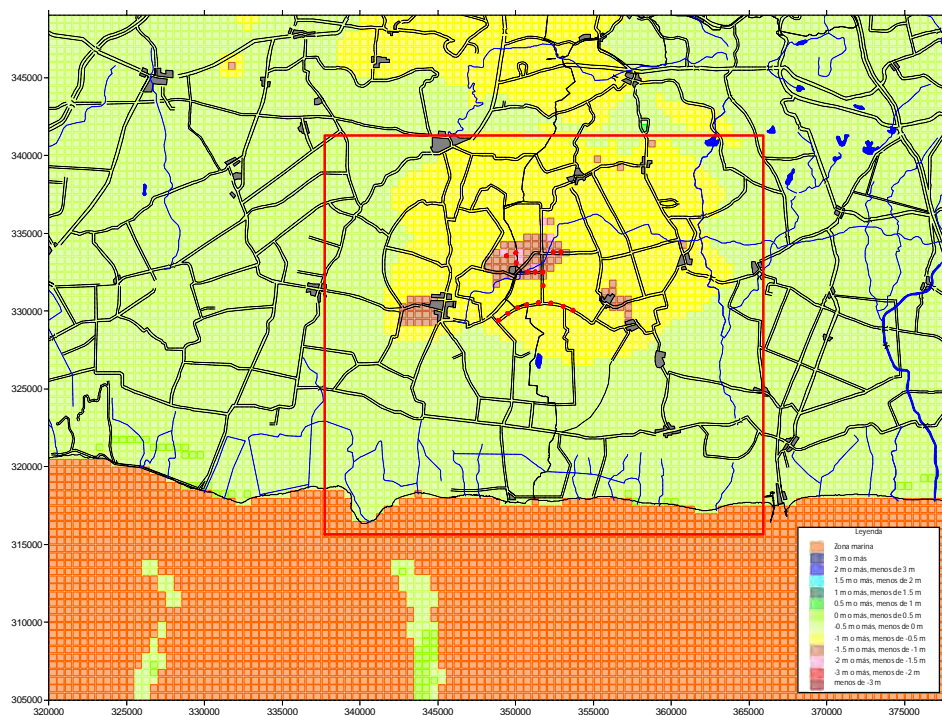


(Finales del periodo de lluvias (octubre de 2035))



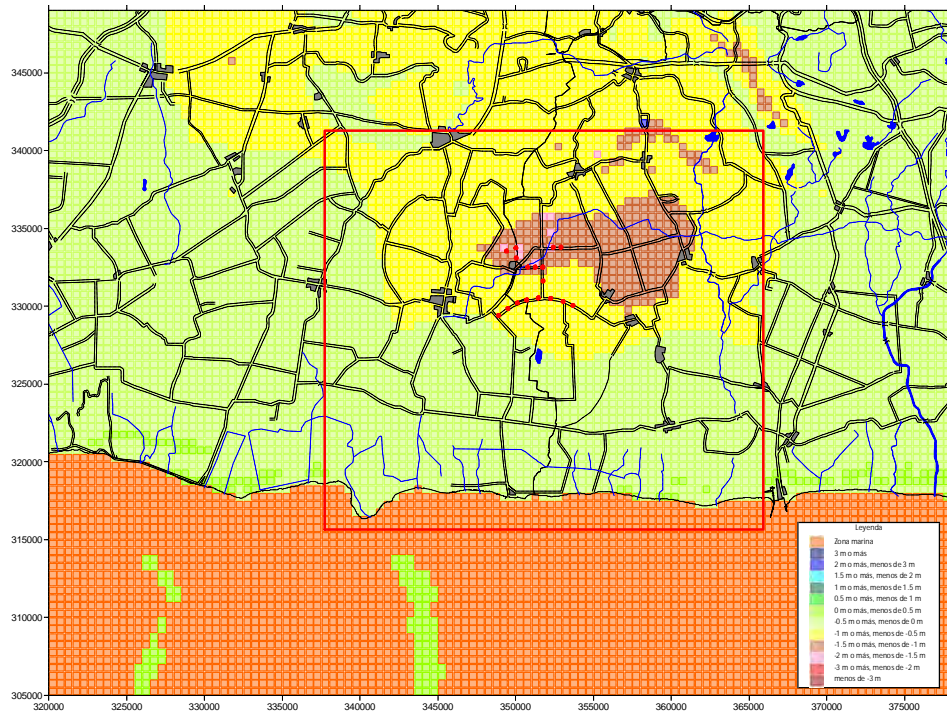
(Último mes (diciembre) de 2035)

Figura 5-23: Comparación de la distribución de los niveles calculados de agua subterránea (capa 17) del [Modelo Q0-RA0] y el [Modelo Q1-RA0]

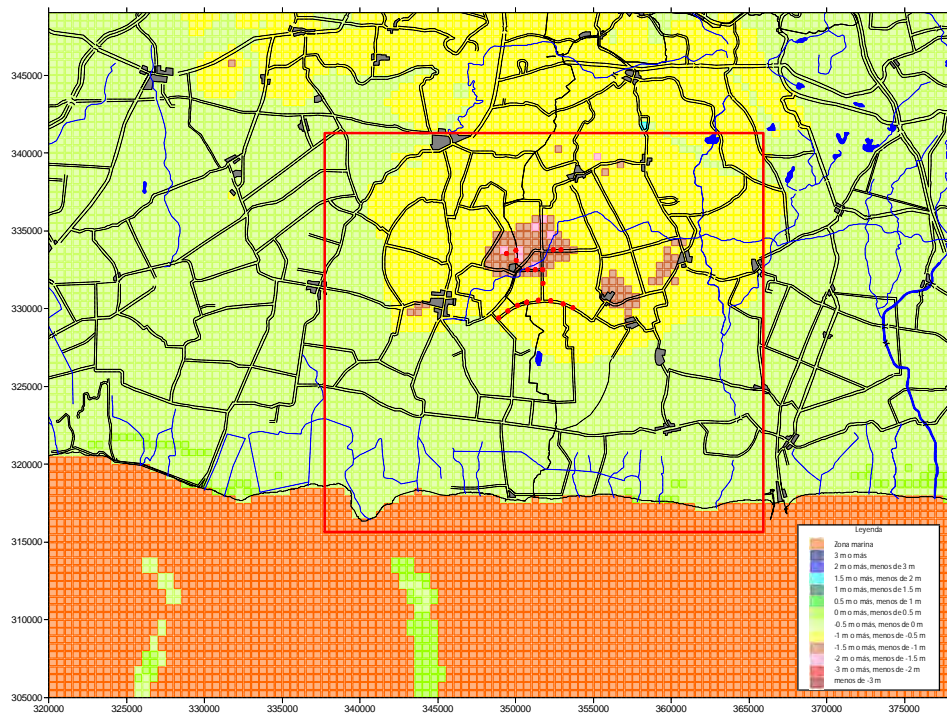


(Finales del periodo seco (abril de 2035))



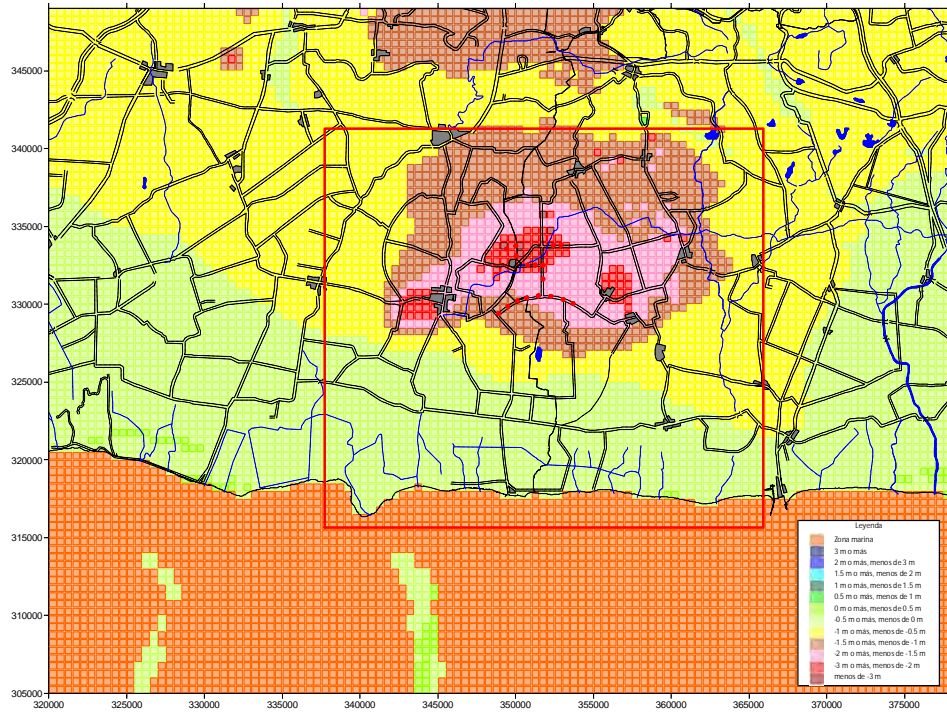


(Finales del periodo de lluvias (octubre de 2035))

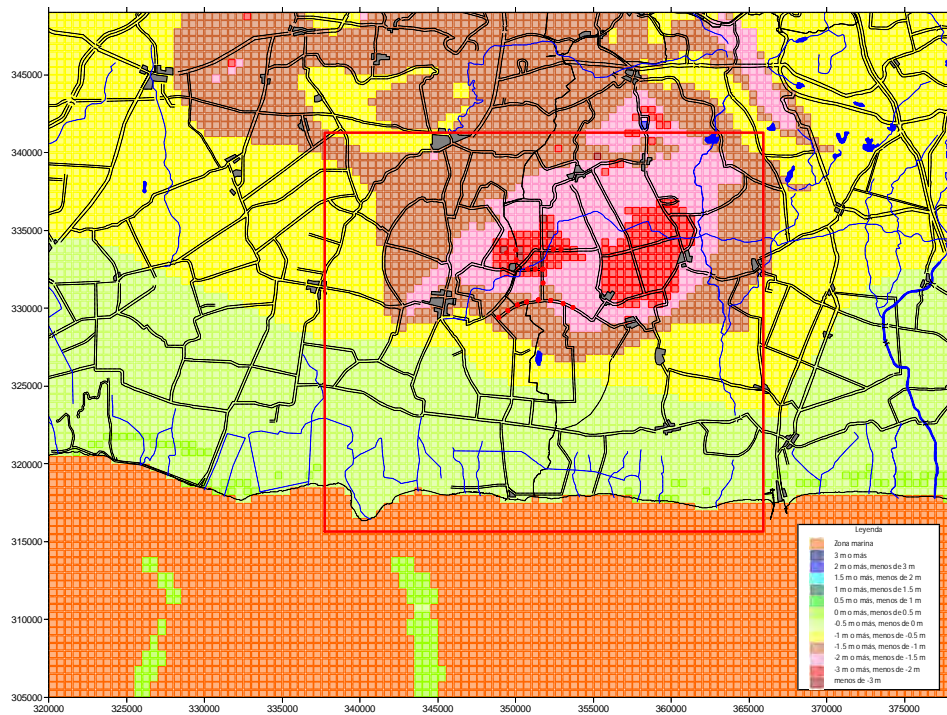


(Último mes (diciembre) de 2035)

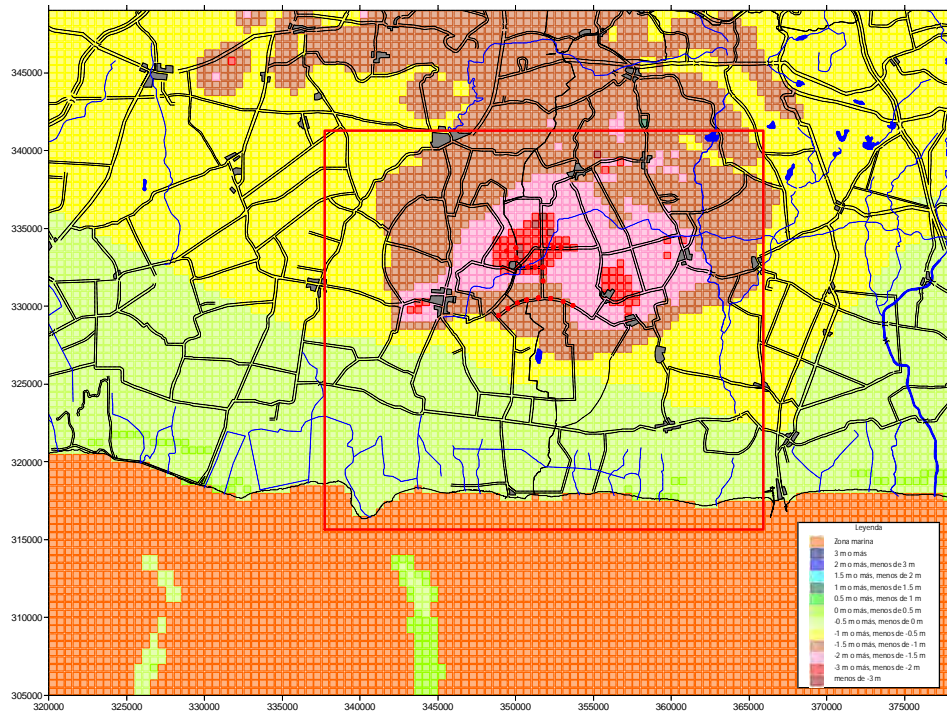
Figura 5-24: Comparación de la distribución de los niveles calculados de agua subterránea (capa 17) del [Modelo Q0-RA0] y el [Modelo Q2-RA0]



(Finales del periodo seco (abril de 2035))



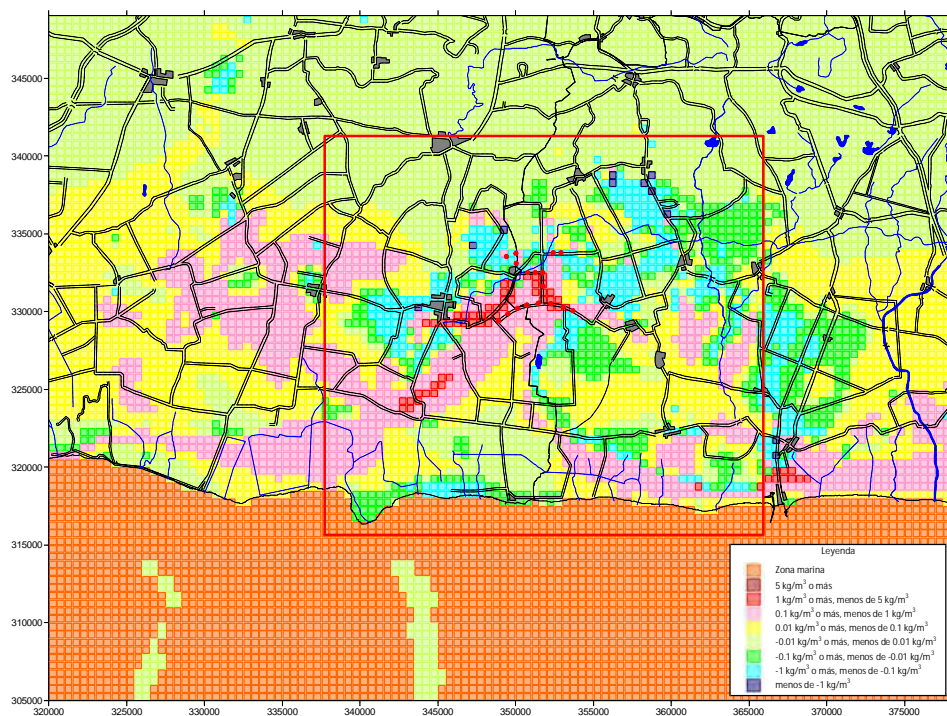
(Finales del periodo de lluvias (octubre de 2035))



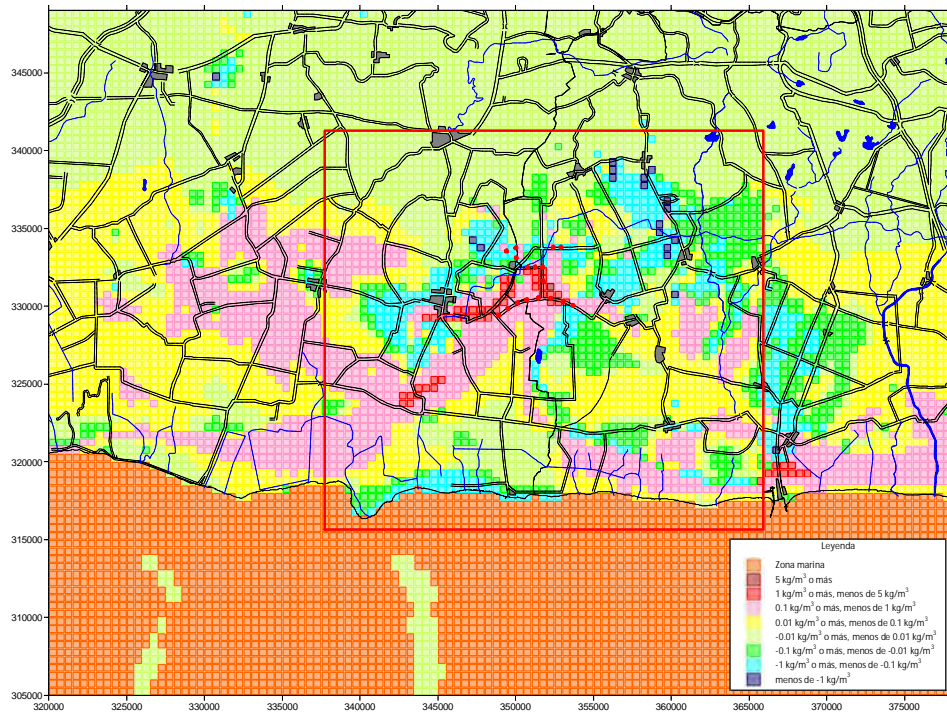
(Último mes (diciembre) de 2035)

Figura 5-25: Comparación de la distribución de los niveles calculados de agua subterránea (capa 17) del [Modelo Q0-RA0] y el [Modelo Q3-RA0]

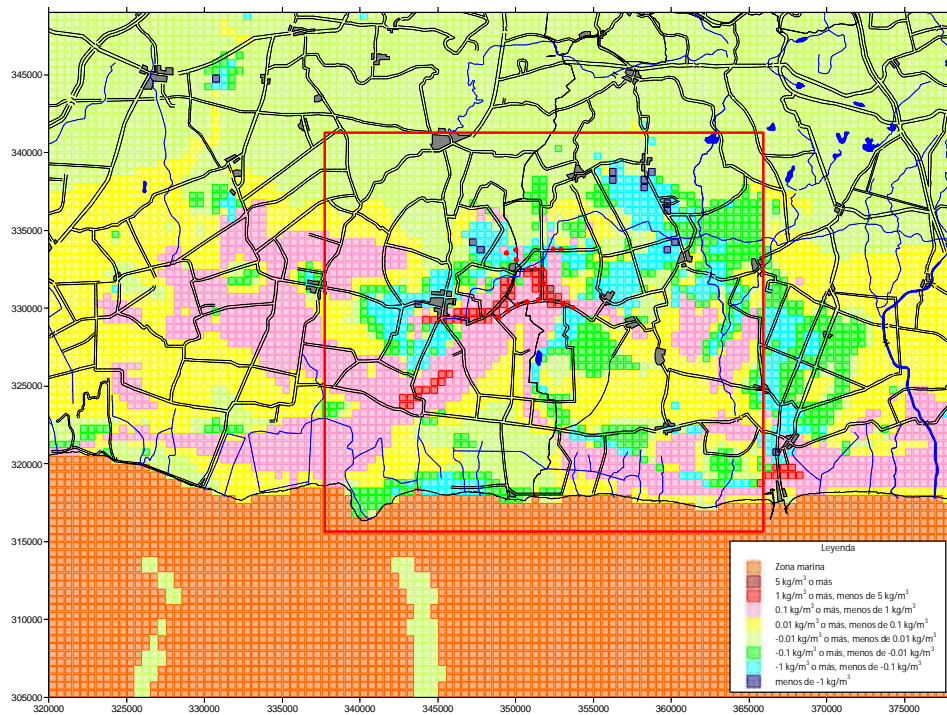
También se muestran a continuación las figuras de comparación de las concentraciones de sal calculadas (capa 17) entre el Modelo básico 1 y los tres casos descritos. El periodo de comparación es el mismo que el de la sección anterior.



(Finales del periodo seco (abril de 2035))

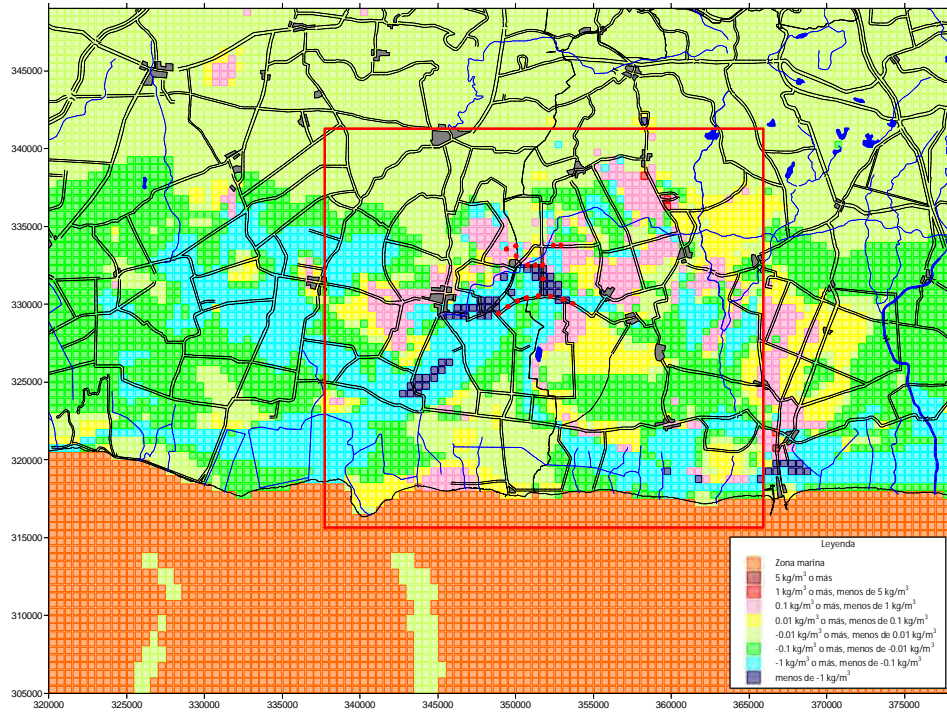


(Finales del periodo de lluvias (octubre de 2035))

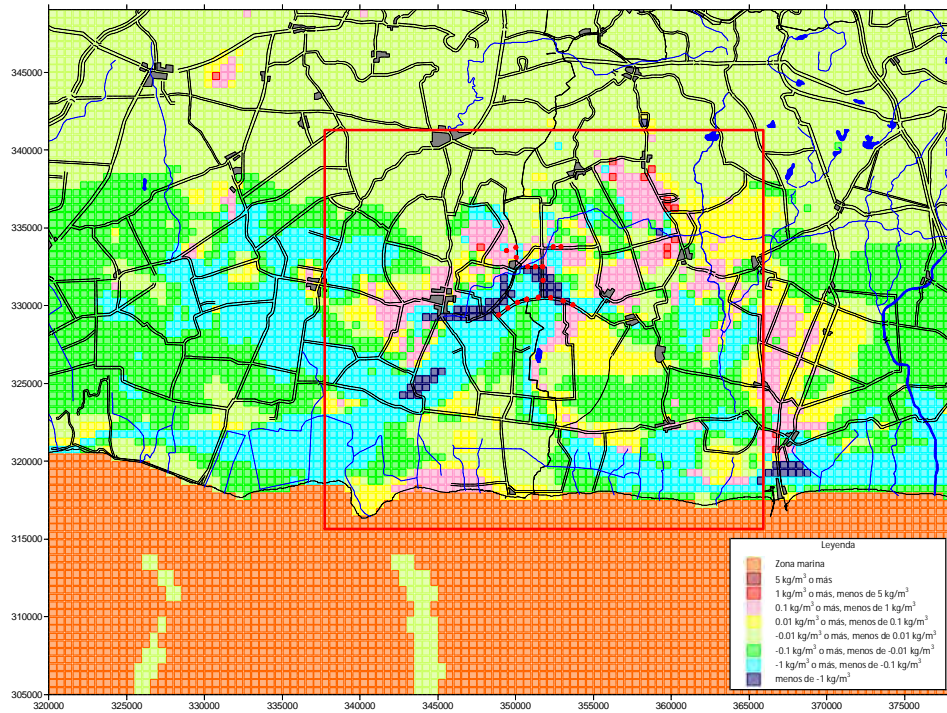


(Último mes (diciembre) de 2035)

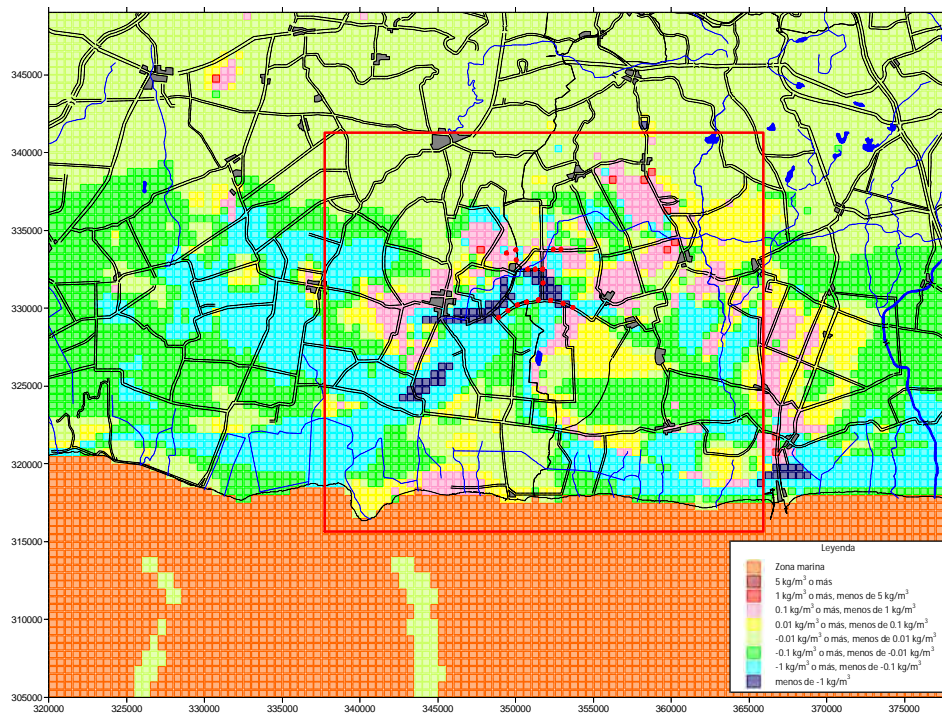
Figura 5-26: Comparación de la distribución de las concentraciones de sal calculadas (capa 17) del [Modelo Q0-RA0] y el [Modelo Q1-RA0]



(Finales del periodo seco (abril de 2035))

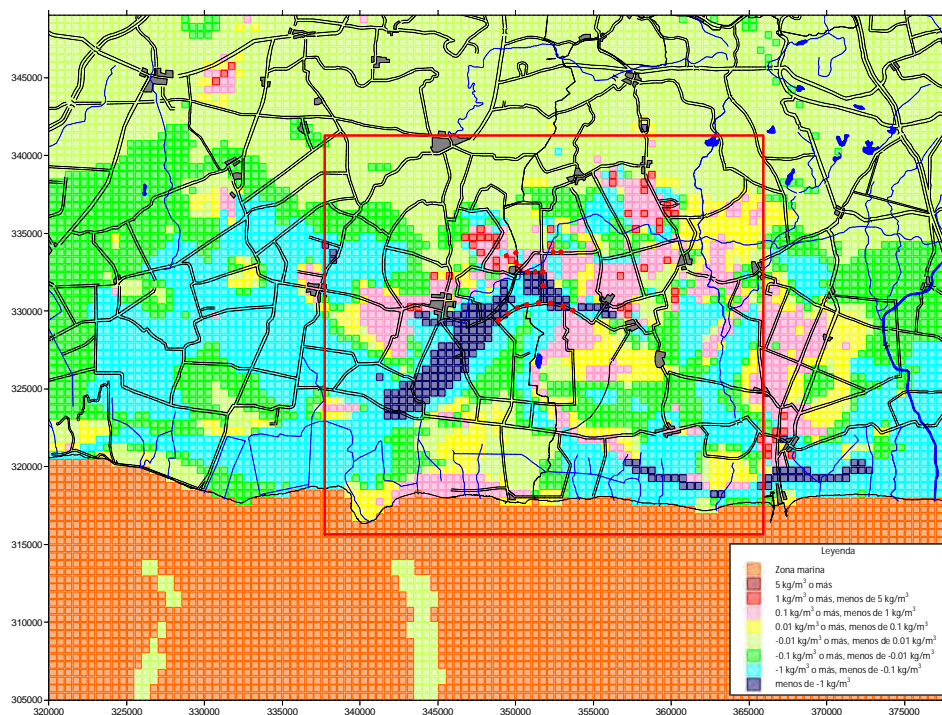


(Finales del periodo de lluvias (octubre de 2035))

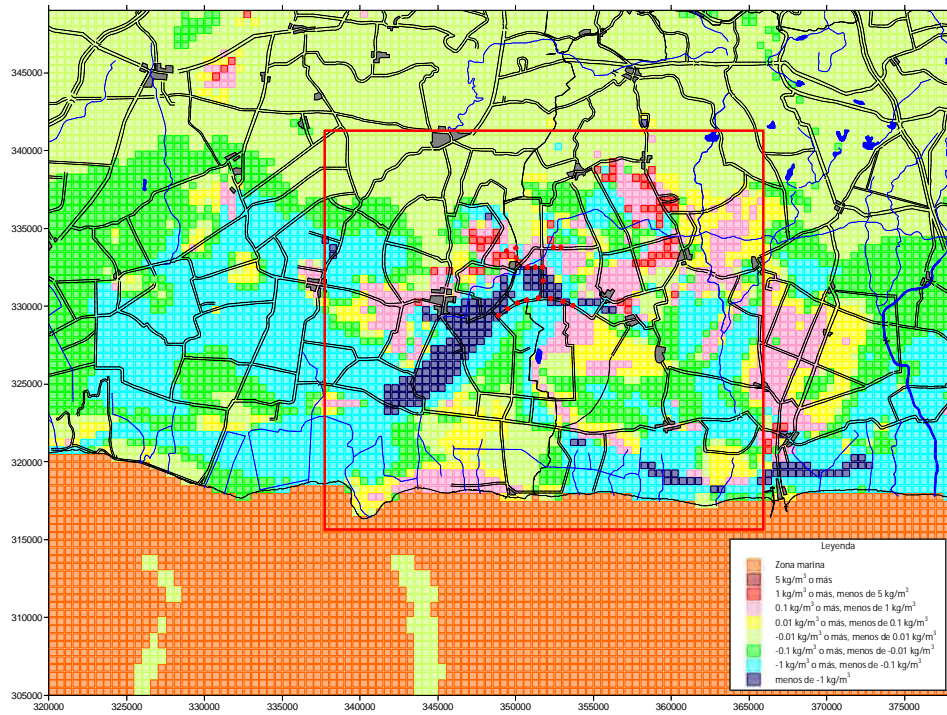


(Último mes (diciembre) de 2035)

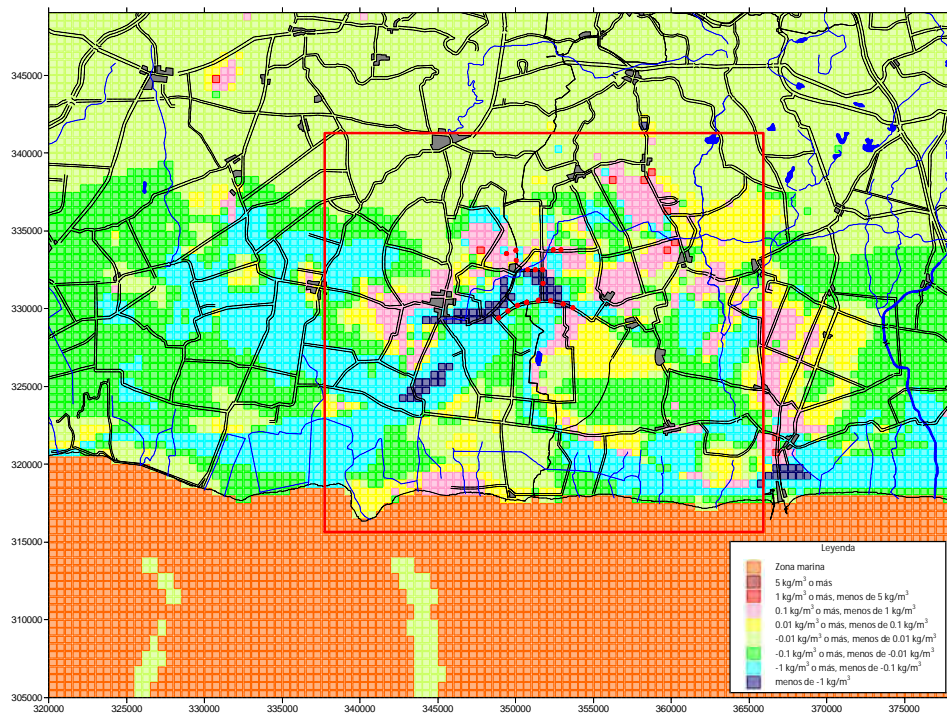
Figura 5-27: Comparación de la distribución de las concentraciones de sal calculadas (capa 17) del [Modelo Q0-RA0] y el [Modelo Q2-RA0]



(Finales del periodo seco (abril de 2035))



(Finales del periodo de lluvias (octubre de 2035))



(Último mes (diciembre) de 2035)

Figura 5-28: Comparación de la distribución de las concentraciones de sal calculadas (capa 17) del [Modelo Q0-RA0] y el [Modelo Q2-RA0]